

## بررسی مکانیزم کاهش آلاینده‌های دوده و NO در موتورهای دیزل پاشش مستقیم با استفاده از راهکار پاشش دومرحله‌ای سوخت

کامران پورقاسمی<sup>۱\*</sup>، فتح الله امی<sup>۲</sup>، وحید اصفهانیان<sup>۳</sup>، حامد طنابی<sup>۴</sup>

دانشگاه تربیت مدرس

(Kamran.poorghasemi@gmail.com)<sup>\*</sup> نویسنده مخاطب:

### چکیده

۲/۵ cm

هدف مقاله بررسی نحوه کاهش آلاینده‌های دوده و NO در پاشش چندمرحله‌ای سوخت به عنوان یک راهکار مؤثر در کاهش آلایندگی موتورهای دیزل پاشش مستقیم(DI) می‌باشد. در این پژوهش ابتدا مکانیزم کاهش آلاینده‌ها با استفاده از پاشش دومرحله‌ای سوخت مطالعه گردیده و پس از بررسی حالت‌های مختلف پاشش دومرحله‌ای، بهینه ترین حالت پاشش دو مرحله‌ای سوخت برای یک موتور دیزل پاشش مستقیم ساخت داخل ارائه شده است. آزمون‌های حالت پایه موتور در مرکز تحقیقات موتورسازان تبریز انجام گرفته و برای صحه‌گذاری پارامترهای عملکردی و آلاینده‌های حاصل از شبیه‌سازی فرآیند احتراق موتور با کد سه‌بعدی KIVA-3V، استفاده شده است. مقدار سوخت در هر پالس پاشش، فاصله زمانی بین دو پالس، فشار پاشش پارامترهای اصلی مورد بررسی می‌باشند. نتایج نشان داد که با استفاده از این راهکار مقدار آلاینده دوده تا ۳۳٪ و NO تا حدود ۱۱٪ کاهش می‌یابند.

واژه‌های کلیدی: موتور دیزل پاشش مستقیم(DI)، پاشش دومرحله‌ای سوخت، KIVA-3V، دوده و NOx

۲/۵ cm

فرآیند احتراق در موتورهای دیزل بشدت وابسته به مشخصه‌های پاشش سوخت و پدیده اتمیازاسیون جهت افزایش نرخ اختلاط و تبخیر سوخت می‌باشد. عوامل فشار پاشش سوخت، زمان شروع و نرخ پاشش، هندسه نازل و شرایط محیط داخل سیلندر بر نرخ اختلاط، احتراق و میزان آلاینده‌های خروجی موتور دیزل پاشش مستقیم تاثیر زیادی دارند [۱]. مطالعات در مورد تاثیر پاشش با فشار بالا و هندسه ورودی نازل انژکتور جهت ایجاد افسانه سوخت با قطر متوسط کوچکتر برای کاهش آلاینده‌های موتور راهکاری محدود می‌باشد [۲]. لذا محققان همواره به دنبال راهکارهای جدیدی جهت کاهش بیشتر آلاینده‌ها در پاسخ به استانداردهای سختگیرانه آلایندگی می‌باشند.

مشکل اصلی در موتورهای دیزلی کاهش همزمان آلاینده‌های دوده و NOx می‌باشد. زیرا این دو آلاینده در تقابل هم بوده و کاهش هر کدام افزایش دیگری را در پی دارد [۳]. راهکارهای مختلفی جهت کاهش هر یک از این آلاینده‌ها ارائه شده است ولی بیشتر این راهکارها تنها قابلیت کاهش یکی از این دو آلاینده را داشته و سبب افزایش دیگری می‌گردند. یکی از

۱- کارشناس ارشد هواپیما (پیشرانش)، دانشگاه تربیت مدرس و مریم گروه مکانیک دانشگاه آزاد واحد شبستر

۲- استادیار بخش مکانیک، دانشگاه تربیت مدرس

۳- استاد دانشکده مکانیک، دانشگاه تهران

۴- مریم گروه مکانیک، دانشگاه آزاد واحد شبستر

راهکارهای نوین در کاهش همزمان این آلاینده‌ها پاشش چندمرحله‌ای سوخت در هر سیکل موتور می‌باشد. سیستمهای ابتکاری پاشش سوخت در دهه اخیر مانند سیستم "مخزن مشترک" (Common Rail) با قابلیت پاشش چندمرحله‌ای سوخت توسعه داده شده‌اند تا آلاینده‌های مذکور را کنترل کنند. کلمه "چند مرحله‌ای" (Multiple Injection) معانی مختلفی دارد که شامل پیش پاشش یا پایلوت (Pilot Injection)، پاششهای مجزا (Split Injection) و سایر شکلهای پاشش می‌باشد که در پالسهای جداگانه پاشش صورت می‌گیرند. در پاشش پایلوت مقدار نسبتاً کمی از سوخت چند درجه چرخش میل لنگ زودتر از پاشش اصلی به محفظه احتراق تزریق می‌شود. پاشش مجزای سوخت شامل دو مرحله پاشش سوخت می‌باشد که با مقادیر مختلف سوخت و فاصله بین دو مرحله پاشش نسبتاً زیاد انجام می‌شود. سایر شکلهای پاشش شامل پاشش دوبل، سه مرحله‌ای و چهار مرحله‌ای... می‌باشند. در این مقاله منظور از پاشش چندمرحله‌ای سوخت پاشش دو مرحله‌ای سوخت با مقادیر مختلف سوخت در هر پالس پاشش می‌باشد.

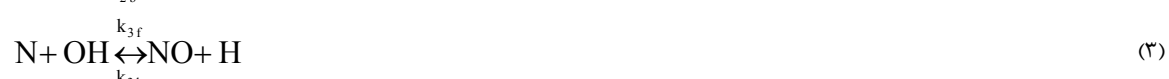
نتایج بررسی‌های انجام شده نشان می‌دهد که پاشش چندمرحله‌ای سوخت اختلاط بهتر نسبت به پاشش یک مرحله‌ای ایجاد کرده و بدون کاهش توان موتور سطح دوده را به مقدار زیادی کاهش می‌دهد [۴-۵]. همچنین در پاشش چندمرحله‌ای وقتی یک میزان کوچک پیش پاشش سوخت در مرحله تراکم تزریق شود بهبود قابل توجهی بر روی عملکرد موتور مانند استارت سرد و صدای احتراق خواهد داشت [۶-۷].

هدف اصلی از به کارگیری راهکار پاشش چند مرحله‌ای بهبود احتراق نفوذی در مرحله انبساط، کاهش دمای داخل محفظه احتراق و نرخ آزادشدن حرارت (HRR) تا حد بهینه و ایجاد زمان کافی برای سوختن دوده می‌باشد [۸-۹]. در این کار پژوهشی با بررسی مکانیزم کاهش آلاینده‌های موتور MT-4.244 با استفاده از شبیه سازی CFD موتور به کمک داده‌های تجربی، مشخصه‌های پاشش بهینه سوخت در پاشش دو مرحله‌ای برای این موتور تعیین شده‌است که می‌تواند راه روشنی فراروی صنعت تولید موتورهای دیزل در کشور باشد.

## ۲- مدل سازی فرآیند احتراق

جهت بررسی عددی و شبیه‌سازی فرآیند احتراق موتور دیزل از کد KIVA-3V استفاده شده است. کد KIVA-3V حل جریانهای سه بعدی ناپایا، تراکم پذیر، متلاطم و واکنشی را به روش حجم محدود انجام می‌دهد که در شبیه‌سازی عملکرد موتورهای احتراق داخلی کاربرد فراوان دارد [۱۰]. مدل‌های اصلی به کار رفته در کد مذکور عبارت از: مدل توربولانسی K-E برای جریان متلاطم داخل محفظه سیلندر، مدل احتراق ماگنوسن- هجرتاگر و آرینیوس، اشتغال خودبخودی مدل Shell و جهت حل میدان جریان و فشار داخل سیلندر از الگوی Simple استفاده شده است. در این پژوهش جهت نیل به هدف مقاله، مدل شکست اسپری Wave همراه با تغییرات جهت اعمال پاشش چندمرحله‌ای به کد KIVA-3V اضافه شده است. [۱۱]

مکانیزم مورد استفاده در KIVA-3V برای سینتیک تشکیل NO مکانیزم توسعه یافته زلدوویچ می‌باشد. این مکانیزم شامل معادلات زیر می‌باشد که توسط آقای باومن (Bowman) ارائه شده است [۱۲]:



از طرفی رابطه زیر برای رادیکالهای هیدروژن برقرار است:



با فرض حالت پایا برای  $N$  ،  $d[N]/dt$ ) در معادلات فوق رابطه زیر حاصل می شود:

$$\frac{d}{dt}[NO] = 2K_{1f}[O][N_2] \\ \left\{ \frac{1-[NO]^2/K_{1f}[O_2][N_2]}{1+K_{1b}[NO]/(K_{2f}[O_2]+K_{3f}[OH])} \right\} \quad (5)$$

که در آن  $K_{12}=(k_{1f}/k_{1b})(k_{2f}/k_{2b})$  می باشد.  $O_2$  و  $N_2$  فرض می شود که در تعادل ترمودینامیکی هستند [۱۳]. ثوابت نرخ تشکیل  $NO$  از معادله آرینیوسی با ضرایب تجربی محاسبه می شوند.

$$k_f = A T \exp\left(-\frac{E_a}{RT}\right) \quad (6)$$

مدل به کار رفته در کد KIVA-3V برای محاسبه مقدار دوده از دو مرحله تولید دوده و اکسیداسیون آن تشکیل می شود و مقدار نهایی دوده تولیدی از تفاصل این دو مرحله بدست می آید. نرخ تشکیل دوده توسط آقای هیرویاسو مدل شده است که عبارت است از:

$$\frac{d(M_s)}{dt} = \dot{M}_{sf} - \dot{M}_{so} \quad (7)$$

در رابطه (7)،  $M_s$  جرم نهایی دوده،  $\dot{M}_{sf}$  نرخ تشکیل دوده و  $\dot{M}_{so}$  نرخ اکسیداسیون دوده می باشند. نرخ تشکیل آرینیوسی دوده با جرم بخار سوخت متناسب است. لذا:

$$\dot{M}_{sf} = K_f M_{fv} \quad (8)$$

در رابطه فوق،  $K_f$  ضریب تشکیل دوده، تابعی از فشار و دما، به صورت زیر تعریف می شود:

$$K_f = A_{sf} P^{0.5} \exp\left(-\frac{E_{sf}}{RT}\right) \quad (9)$$

نرخ اکسیداسیون دوده توسط مدل نیگر (Nagle) و استریکلن (Strickland-Constable) به صورت زیر بیان می شود:

$$\dot{M}_{so} = K_0 M_s \quad (10)$$

$$K_0 = \frac{6}{\rho_s D_s} M_w c . M_s . R_{tot} \quad (11)$$

[۱۴] جرم دوده،  $M_s$  وزن مولکولی کربن،  $D_s$  قطر دوده برابر  $25 \text{ nm}$  و  $\rho_s$  دانسیته دوده برابر  $2/5 \text{ g/cm}^3$  می باشد.  $M_w$  مولکولیتی دوده باشد.

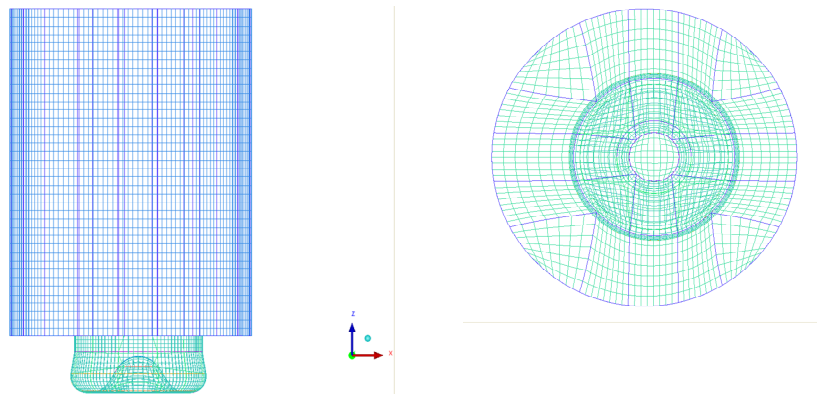
### ۳- صحه گذاری نتایج شبیه سازی

جهت ارزش دهی نتایج حاصل از شبیه سازی فرآیند احتراق با پاشش چند مرحله ای سوخت، نتایج حاصل از آزمون های آزمایشگاهی موتور دیزل پاشش مستقیم (DI) MT-4.244 ساخت شرکت موتور سازان تراکتور سازی تبریز استفاده شده است. مشخصات موتور در جدول ۱ ارائه گردیده است. آزمونهای آزمایشگاهی Mode 8- با دستگاه های AVL انجام شد. در مورد هر مشخصه دیگری از موتور که در کد نیاز بود نیز مقدار مربوط به موتور مذکور تهیه شده و به عنوان اطلاعات ورودی در کد وارد شده است. آزمون تجربی و شبیه سازی در بار کامل و دور ۲۰۰۰ rpm انجام شده است.

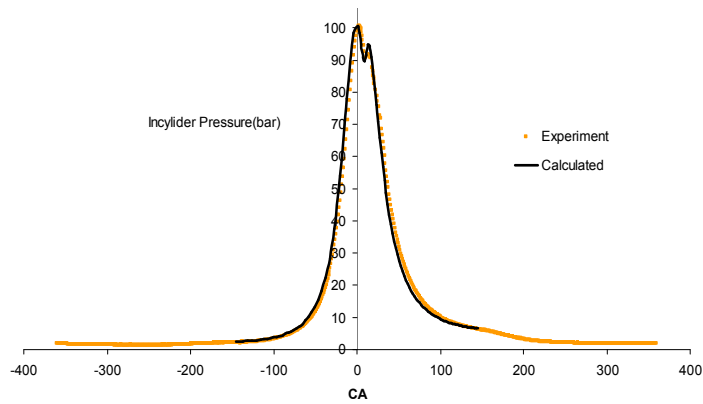
شبکه‌بندی محفظه احتراق موتور به صورت  $360^\circ$  درجه در نظر گرفته شده است. سلول‌های محاسباتی به شکل Hexa می‌باشند. شکل ۱ شبکه‌بندی محفظه داخل سیلندر را نشان می‌دهد. تعداد تقسیمات شبکه در جهت ساعی برابر  $20^\circ$  می‌باشد و ۲ ردیف شبکه لایه‌مرزی و ۶ سلول در نقطه مرگ بالا برای ناحیه فشردنگی نیز در نظر گرفته شده است.

جدول ۱- مشخصات و شرایط اولیه موتور

$2/33 \text{ kbar}$	فشار اولیه داخل سیلندر	MT_4.244	مدل موتور
$450 \text{ K}$	دماه اولیه داخل سیلندر	$100 \text{ mm}$	قطر پیستون
$250 \text{ bar}$	فشار پاشش سوخت	$127 \text{ mm}$	کورس پیستون
$148 \text{ BTDC}$	لحظه بسته شدن سوپاپ هوا و ورودی	$17/5:1$	نسبت تراکم
$150 \text{ ATDC}$	لحظه باز شدن سوپاپ دود	$2000 \text{ rpm}$	دور موتور
$15 \text{ CA}$	مدت زمان پاشش سوخت	$2 \text{ ATDC}$	زمان تزریق سوخت (SOI)



شکل ۱- شبکه بندی محفظه احتراق در حالت  $360^\circ$  درجه (شکل سمت راست دید راست از بالای محفظه می‌باشد)



شکل ۲- مقایسه تغییرات فشار داخل سیلندر حاصل از نتایج تجربی و شبیه‌سازی

## سومین کنفرانس سوخت و احتراق ایران

تهران - دانشگاه صنعتی امیرکبیر - اسفند ماه ۱۳۸۸



دانشگاه صنعتی امیرکبیر  
دانشکده مهندسی هواپیما

شکل ۲ منحنی تغییر فشار داخل سیلندر حاصل از شبیه‌سازی موتور را در نتایج آزمون‌های آزمایشگاهی نشان می‌دهد. مشاهده می‌شود که منحنی فشار حاصل از نتایج عددی و تجربی مطابقت خوبی با هم دارند. جهت بررسی دقت مدل‌های مورد استفاده برای پیشگویی آلاینده‌ها مقادیر حاصل از شبیه‌سازی در جدول ۲ با نتایج تجربی مقایسه شده است. با توجه به مقادیر جدول، نتایج شبیه‌سازی و آزمایشگاهی همخوانی خوبی دارند.

جدول ۲- مقدار آلاینده‌های موتور دیزل در حالت پایه

آلاینده	مقدار تجربی (gr/kW.h)	مقدار حاصل از شبیه سازی (gr/kW.h)
اکسیدنیتروژن NO	۶/۸۴	۷/۶۸
دوده (Soot)	۰/۸۷	۱/۰۲

### ۴- تحلیل نتایج

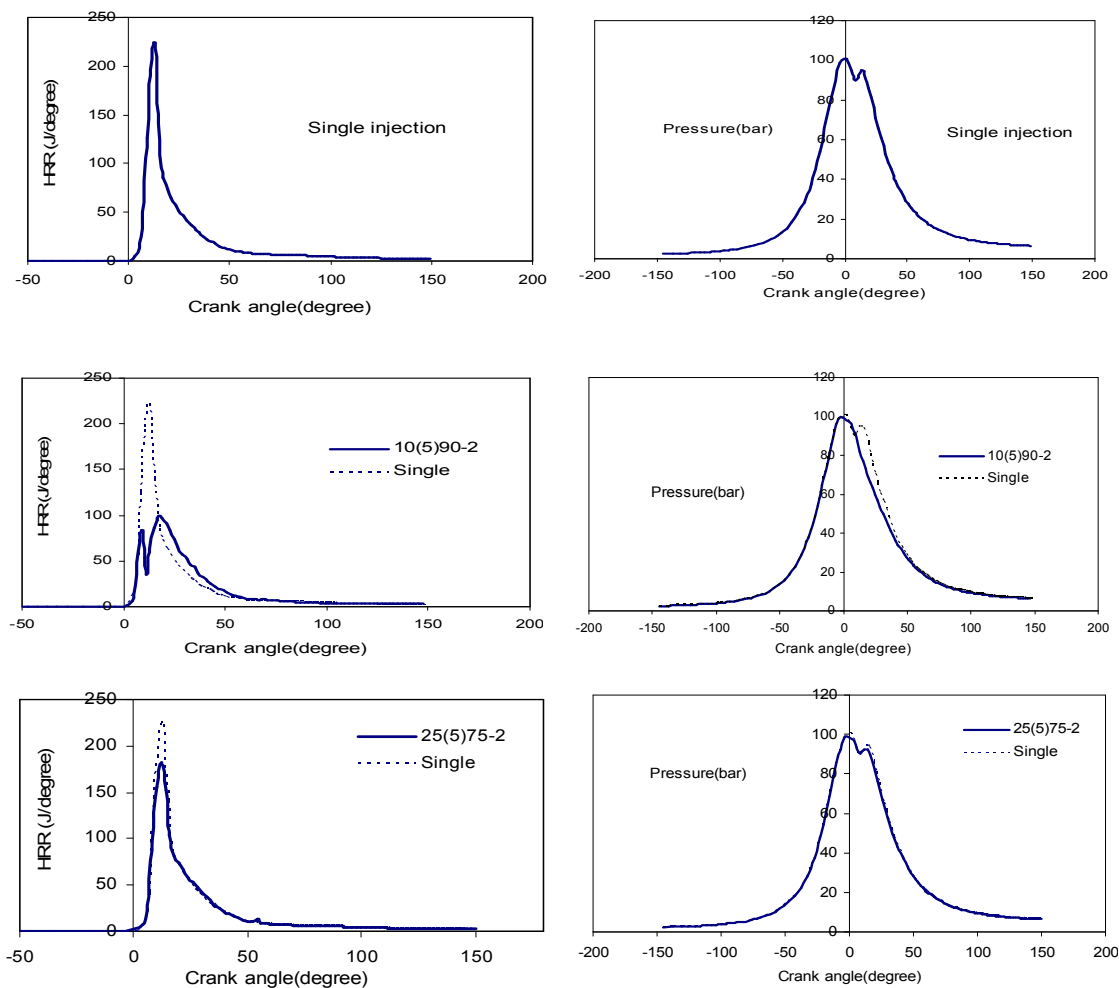
مهمترین پارامترهای پاشش چندمرحله‌ای عبارت از: تعداد پاشش سوخت، زمان پاشش سوخت، فشار پاشش سوخت و مقدار سوخت در هر مرحله از پاشش و فاصله زمانی بین پاشش‌ها می‌باشد. با انتخاب بهینه پارامترهای مذکور می‌توان به یک مصالحه در کاهش همزمان آلاینده‌های دوده و NO موتور دیزل دست یافت. جهت سهولت بیان مقدار پاشش سوخت در هر مرحله، فاصله بین دو پالس پاشش قرارداد (شروع پاشش-٪ سوخت در مرحله دوم (فاصله بین دو پاشش)-٪ سوخت در مرحله اول) در نظر گرفته شده است. برای مثال ۹۰٪ بدین معنی است که شروع پاشش سوخت از ۲ درجه پس از نقطه مرگ بالا با ۹۰٪ درصد سوخت در پالس اول پاشش انجام شده و پس از ۸ درجه چرخش میل لنگ فاصله از اتمام پالس اول ۱۰٪ سوخت باقی‌مانده نیز پاشش می‌شود. در ادامه حالت‌های مختلف تزریق دومرحله‌ای در نظر گرفته شده است که شامل حالت‌های (پیش پاشش + پاشش اصلی) و (پاشش اصلی + پس پاشش) با مقادیر مختلف سوخت در هر مرحله و فاصله‌های زمانی مختلف توقف پاشش می‌باشد.

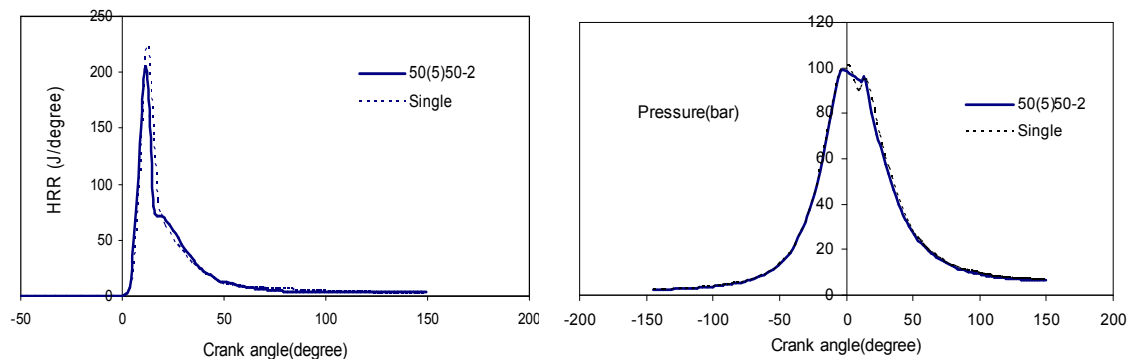
شکل ۳ منحنی فشار داخل سیلندر و نرخ آزادشدن حرارت را برای شش حالت نشان می‌دهد. با توجه به منحنی‌های فشار و HRR در شکل ۳، مشاهده می‌شود که برای حالت‌های پاشش سوخت که مقدار بیشتر سوخت در پالس دوم پاشش می‌شود بیشینه نرخ آزاد سازی حرارت کاهش می‌یابد که علت آن کاهش احتراق پیش آمیخته است و رفتار احتراق مانند حالت ریتارد می‌باشد. با توجه به افت فشار داخل سیلندر در برخی از حالت‌های پاشش، حالت بهینه وقتی است که قسمت اعظم سوخت در مرحله اول تزریق شود تا توان موتور کاهش نیابد.

جدول ۳ مقدار تولید آلاینده‌های دوده و NO را برای حالت‌های مختلف پاشش سوخت ارائه می‌دهد. مشاهده می‌شود که هر چه مقدار سوخت در پاشش ثانویه بیشتر باشد مقدار NO کاهش می‌یابد که دلیل آن کاهش بیشینه نرخ آزادسازی حرارت و احتراق پیش آمیخته و در نتیجه کاهش دمای سیلندر می‌باشد. همچنین نتایج نشان می‌دهد که هرچه مقدار سوخت در پالس دوم پاشش بیشتر شود دوده تولیدی زمان کافی برای اکسیدشدن را پیدا نمی‌کند لذا مقدار نهایی آن افزایش می‌یابد. بنابراین در جستجوی حالت بهینه‌ای که همزمان بیشینه نرخ آزادسازی حرارت کم باشد تا NO کاهش یابد و همچنین دمای احتراق حاصل از پالس اول پاشش و زمان اکسیداسیون (فاصله بین دو پاشش) کافی باشد تا از ایجاد دوده در پیشانی اسپری پاشش ثانویه جلوگیری شود، حالت‌های ۷۵(۵)۲۵-۲ و ۱۰-۲ (۵) ۹۰ جهت بررسی بیشتر مورد توجه می‌باشند.

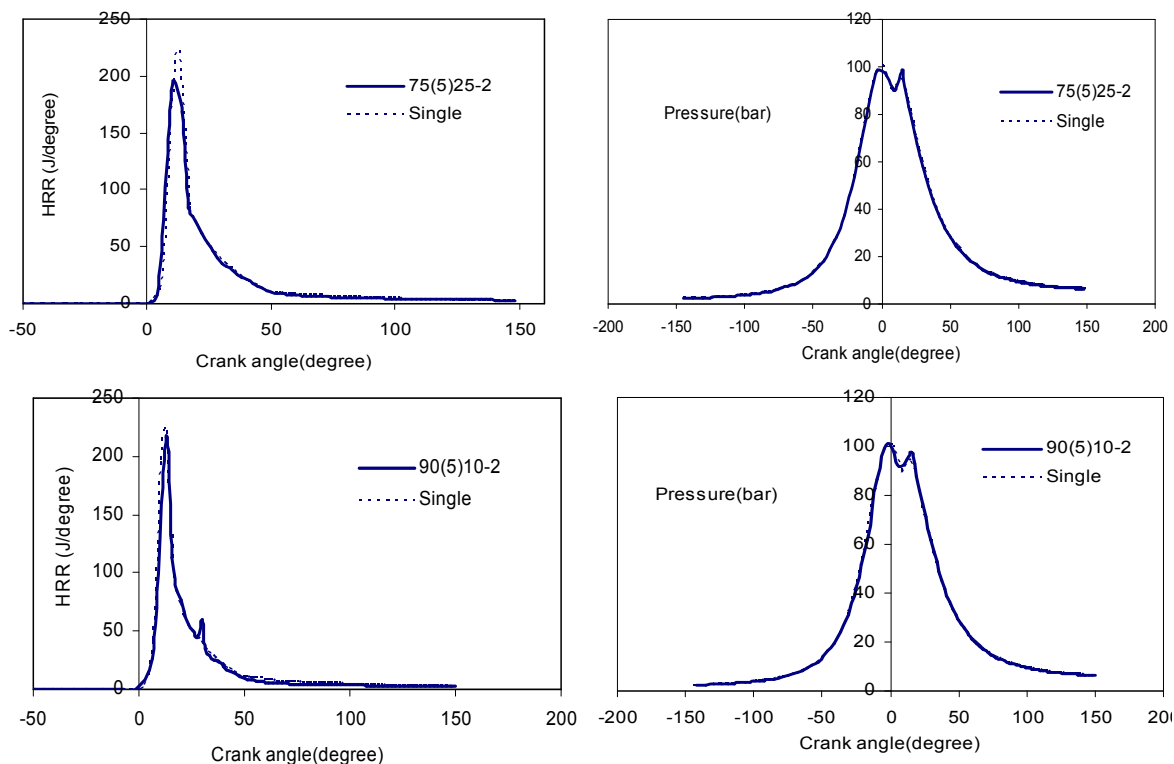
شکل ۴ مقدار آلاینده‌های NO و دوده را برای حالت ۷۵(۵)۲۵-۲ بر حسب فاصله زمانی مختلف بین دو پالس پاشش نشان می‌دهد. مشاهده می‌شود که برای حالت پاشش ۷۵(۳۵)۲۵-۲ دو آلاینده کمترین مقدار خود را دارند. نتایج نشان می-

دهد که در این فاصله زمانی بین دو پاشش هر دو آلاینده NO و دوده کمینه هستند زیرا از یکطرف با کاهش سهم احتراق پیشآمیخته تولید NO کاهش می‌یابد و از طرف دیگر در این فاصله زمانی دمای محفظه جهت سوختن دوده تولیدی حاصل از پالس اول پاشش مناسب می‌باشد. دلیل افزایش NO در فاصله های زمانی بیشتر از ۳۵ درجه چرخش میل لنگ اینست که بخشی از کاهش دمای محفظه که در اثر جذب گرمای محفظه در تبخیر سوخت پاششی می‌باشد، حذف گردیده است. در اثر افت دمای محفظه با افزایش فاصله زمانی بین پالسهای پاشش، اکسیداسیون دوده نیز بخوبی انجام نشده و دوده افزایش می‌یابد.





شکل ۳- منحنی تغییرات فشار داخل سیلندر و آزاد سازی حرارت برای حالت‌های مختلف پاشش سوخت



ادامه شکل ۳- منحنی تغییرات فشار داخل سیلندر و آزاد سازی حرارت برای حالت‌های مختلف پاشش سوخت

جدول ۳- آلاینده‌های تولید شده در حالت‌های مختلف پاشش

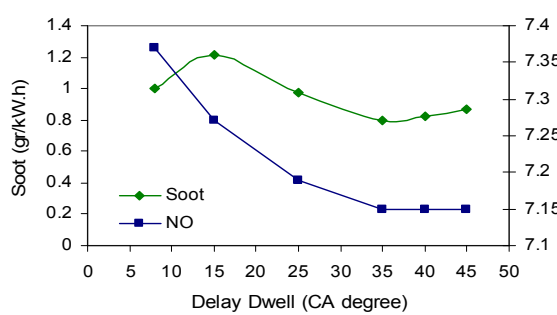
دوده (g / kW. h)	اکسیدهای نیتروژن (g / kW. h)	حالت‌های پاشش
۱/۰۲	۷/۶۸	حالات پایه
۳/۵۱	۳/۵۸	۱۰ (۵) ۹۰-۲
۲/۷۶	۶/۵۰	۲۵ (۵) ۷۵-۲
۲/۵۹	۶/۸	۵۰ (۵) ۵۰-۲
۱/۲۶	۷/۳۲	۷۵ (۵) ۲۵-۲

۱/۱۲	۷/۵۶	۹۰ (۵) ۱۰ -۲
------	------	--------------

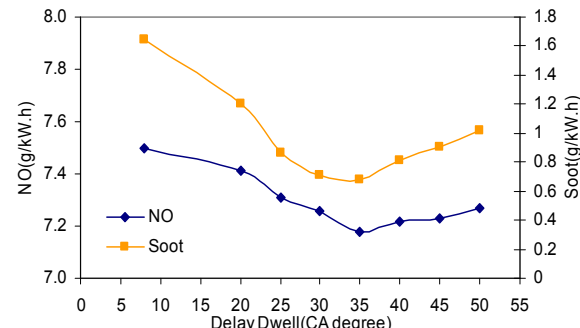
جدول ۴- درصد کاهش آلاینده ها برای دو حالت بهینه پاشش

(٪) (Soot)	(٪) NO	حالت پاشش
۳۳/۸۵	۱۰/۸۷	۷۵(۳۵)۲۵-۲
۲۱/۵۶	۷/۶۸	۹۰(۳۵)۱۰ -۲

در شکل ۵ نتایج فوق برای حالت پاشش ۱۰-۲ (a) نیز ارائه شده است. همانطور که مشاهده می شود در این حالت پاشش بهینه ترین پاشش ۱۰-۳۵ (۹۰) می باشد.

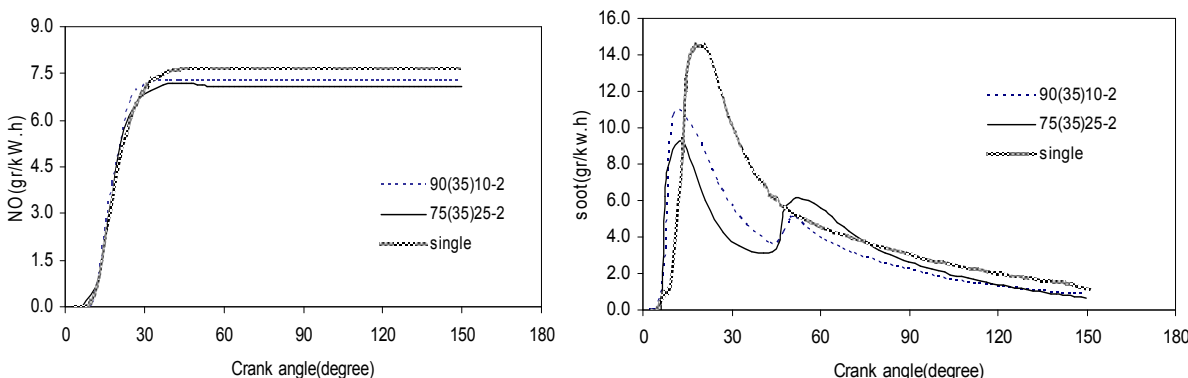


شکل ۵- تغییرات مقدار آلاینده های NO و دوده بر حسب فاصله زمانی بین دو پالس پاشش سوخت برای حالت پاشش ۱۰-۳۵٪-۹۰٪-۱۰٪.



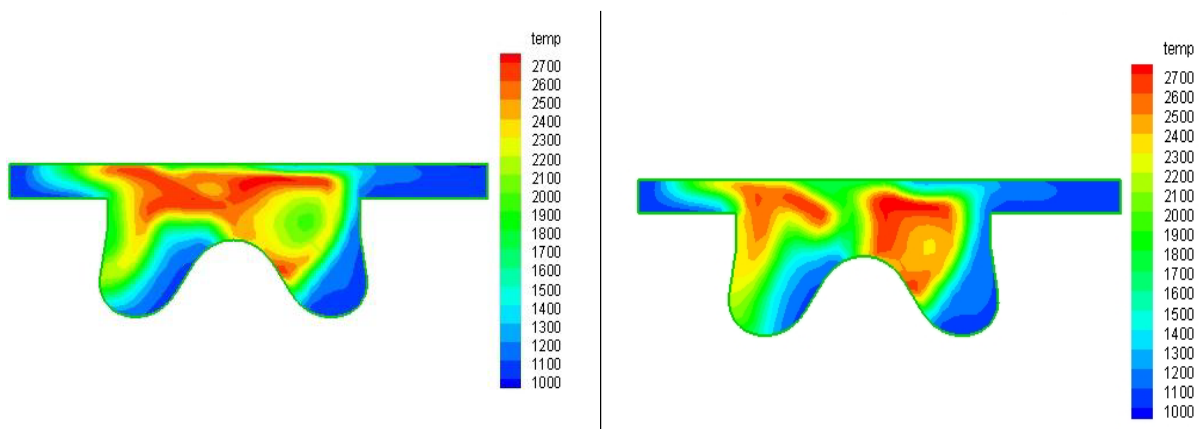
شکل ۴- تغییرات مقدار آلاینده های NO و دوده بر حسب فاصله زمانی بین دو پالس پاشش سوخت برای حالت پاشش ۹۰(۳۵)۲۵-۲٪-۷۵٪-۲۵٪.

در شکل ۶ مقایسه ای بین تشکیل آلاینده های NO و دوده برای دو حالت پاشش بهینه انجام شده است. مشاهده می شود که در تمامی نتایج حالت پاشش ۱۰-۲ (۹۰(۳۵)۲۵-۲) دارای نتایج بهتری می باشد. درصد کاهش آلاینده ها برای هر دو حالت بهینه پاشش در جدول ۴ ارائه شده است. با توجه به داده ها مشاهده می شود که از بین حالت های بهینه پاشش موردنظر حالت پاشش ۹۰(۳۵)۲۵-۲ دارای مشخصه های بهتری می باشد.

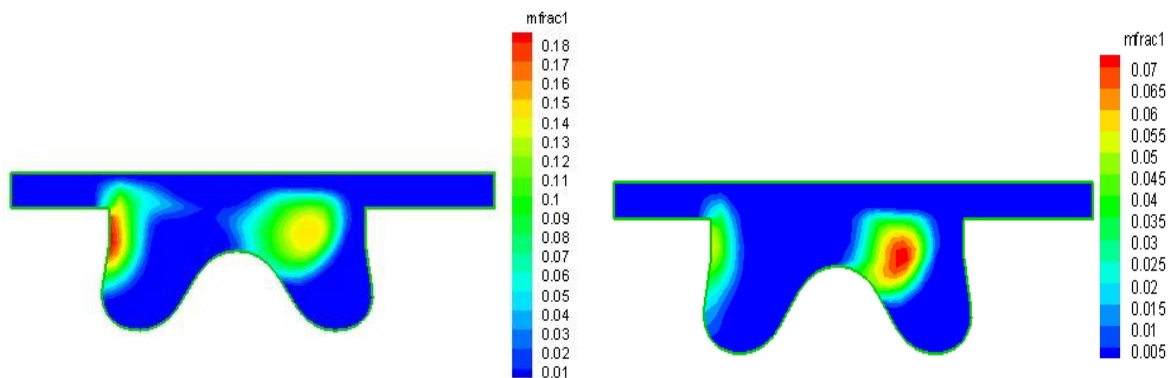


شکل ۶- منحنی تشکیل آلاینده های دوده و NO برای حالت پاشش تک مرحله ای و دو حالت پاشش بهینه

شکل ۷ توزیع دما و کسر مولی سوخت داخل سیلندر را برای دو پاشش یک مرحله‌ای و دو مرحله‌ای بهینه در ۱۹ و ۴۵ و ۵۳ درجه چرخش میل لنگ بعد از نقطه مرگ بالا نشان می‌دهد. با توجه به تعداد نازلها و عدم تقارن هندسه محفظه نشان-دادن همزمان پاشش دو نازل ممکن نیست. لذا عدم تقارن احتراق به این دلیل می‌باشد. همانطور که مشاهده می‌شود. در شرایط ۱۹ ATDC در مناطق با دمای بیشینه در حالت پاشش دو مرحله‌ای به مراتب کمتر از حالت پایه می‌باشد که این عامل کمتر شدن تولید NO می‌باشد. همچنین به دلیل کمتر بودن جرم سوخت پاشیده شده در پالس اول پاشش دو مرحله‌ای مقدار سوخت کمتری نسبت به حالت پاشش یک مرحله‌ای باقی می‌ماند لذا مقدار دوده کاهش می‌یابد. در ۴۵ و ۵۳ درجه چرخش میل لنگ پس از نقطه مرگ بالا مشاهده می‌شود که در احتراق با پاشش یک مرحله‌ای، سوخت تزریق شده با ممنتوم بالا به منطقه غنی از سوخت و دمای نسبتاً پایین در نوک جت نفوذ کرده و به طور پیوسته وارد منطقه غنی از سوخت شده و تولید دوده می‌کند. ولی در پاشش دو مرحله‌ای، سوخت پاششی در مرحله دوم وارد یک منطقه دما بالا و رقیق از سوخت می‌شود که از احتراق حاصل از پالس اول پاشش سوخت باقی مانده است، در نتیجه از تشکیل و انباستگی سوخت در نوک اسپری و ایجاد منطقه غنی و تولید دوده جلوگیری می‌شود.



توزیع دما در داخل سیلندر در ۱۹ ATDC



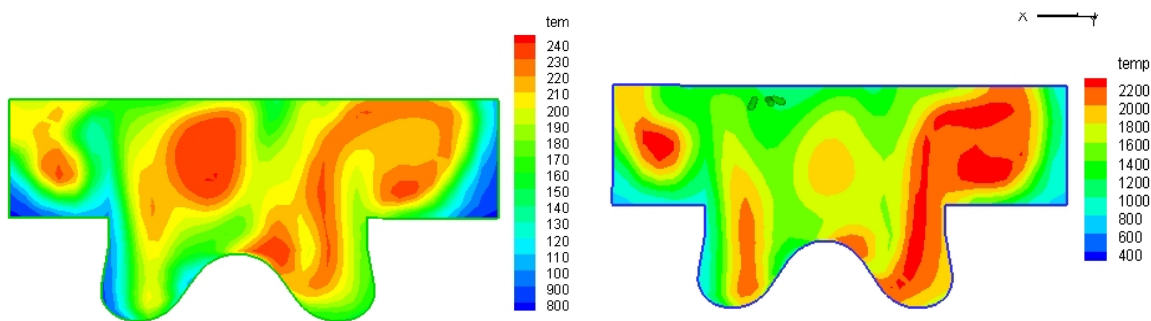
توزیع کسر مولی سوخت ۱۹ ATDC

## سومین کنفرانس سوخت و احتراق ایران

تهران - دانشگاه صنعتی امیرکبیر - اسفند ماه ۱۳۸۸

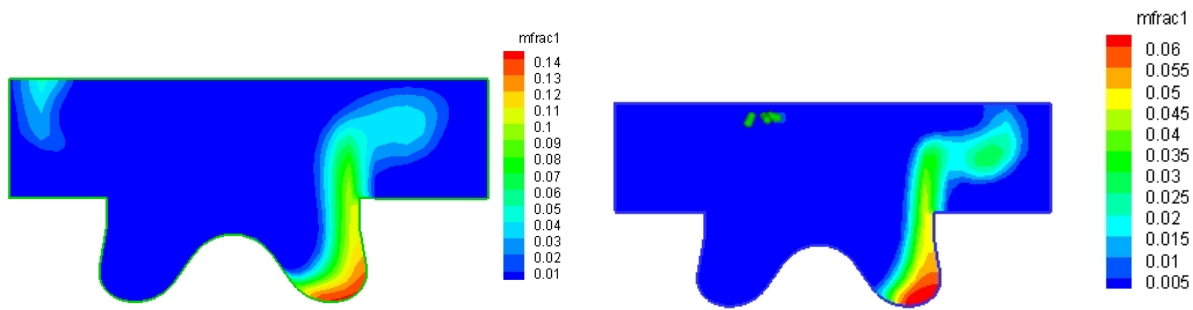


دانشگاه صنعتی امیرکبیر  
دانشکده مهندسی هواپیما

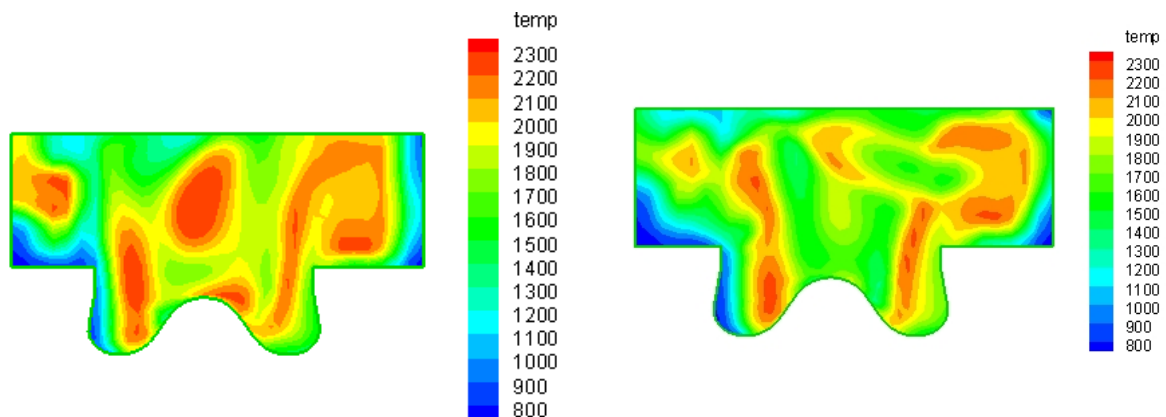


توزیع دمای داخل سیلندر در ۴۵ ATDC

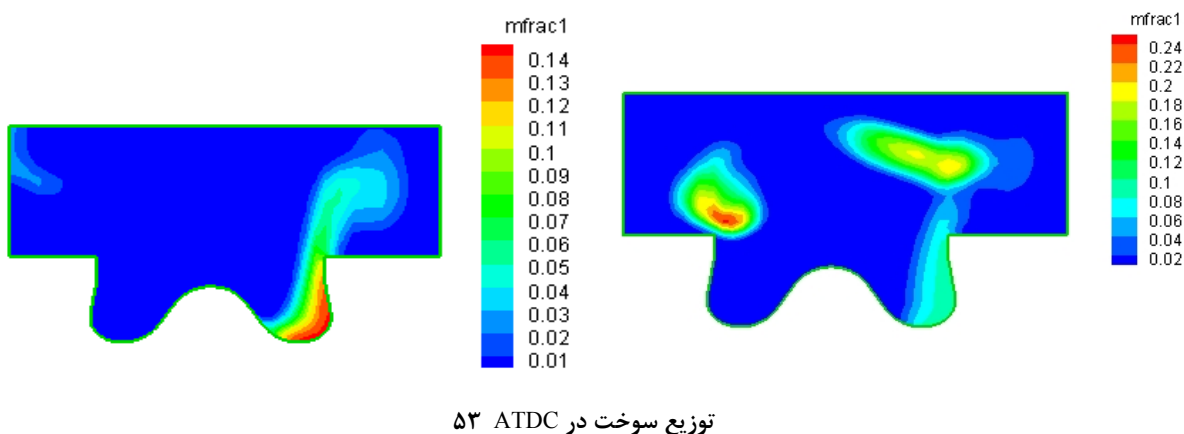
شکل ۷- توزیع دما ، کسر مولی سوخت داخل سیلندر برای دو پاشش یک مرحله‌ای و دو مرحله‌ای بهینه در زاویه های ۴۵ و ۵۳ و ۲۵ (۳۵)(۷۵) درجه بعد از نقطه مرگ بالا (سمت چپ پاشش یک مرحله‌ای و سمت راست پاشش دو مرحله‌ای)



توزیع سوخت در ۴۵ ATDC



توزیع دمای داخل سیلندر در ۵۳ ATDC



ادامه شکل ۷- توزیع دما ، کسر مولی سوخت داخل سیلندر برای دو پاشش یک مرحله‌ای و دو مرحله‌ای بهینه در زاویه های ۴۵ و ۵۳ درجه بعد از نقطه مرگ بالا (سمت چپ پاشش یک مرحله‌ای و سمت راست پاشش دو مرحله‌ای ۲۵(۳۵) ۷۵)

## ۵- نتیجه‌گیری

متن در مقاله حاضر با استفاده از شبیه‌سازی سه‌بعدی به کمک کد KIVA-3V و صحه‌گذاری آن با نتایج تجربی حاصل از آزمون حالت پایه موتور، مکانیزم کاهش آلینده‌های دوده و NO در پاشش دو مرحله‌ای سوخت مورد مطالعه قرار گرفت و در نهایت راهکار پاشش دو مرحله‌ای سوخت جهت کاهش همزمان این آلینده‌ها برای موتورهای دیزل پاشش مستقیم- MT- 4.244 ارائه گردید. خلاصه نتایج به صورت زیر می باشد:

- در پاشش دو مرحله‌ای به دلیل افت بیشینه نرخ آزادسازی حرارت و تاخیر در پاشش دوم مقدار آلینده NO کاهش می‌یابد. مکانیزم کاهش NO در راهکار پاشش چندمرحله‌ای همانند پاشش یک مرحله‌ای یا تاخیر در زمان پاشش سوخت می باشد.
- فاصله بین دو پاشش سوخت باید به حد کافی کوتاه باشد تا دمای مورد نیاز جهت اکسیده شدن دوده حاصل از پالس اول تامین شود. همچنین فاصله زمانی بین دو پاشش باید به حد کافی زیاد باشد تا مقدار زیادی از دوده قبل از آغاز پاشش ثانویه اکسیده شود. بنابراین لازم است که یک حالت بهینه انتخاب شود.
- حالت بهینه پاشش چندمرحله‌ای برای موتور MT-4.244، حالت ۲- ۷۵(۳۵) ۲۵ می‌باشد که با این راهبرد NO و دوده ۳٪ کاهش می‌یابد.
- با توجه به کانتورهای ارائه شده، در پاشش دو مرحله‌ای سوخت پاششی در پالس دوم پاشش وارد یک منطقه دما بالا و رقیق از سوخت می‌شود در نتیجه از انباستگی سوخت در نوک اسپری و ایجاد منطقه غنی از سوخت جلوگیری می‌شود. نتیجتاً مقدار دوده تولیدی کاهش چشمگیری پیدا می‌کند.

## ۶- تشکر و قدردانی

در نویسنده‌گان از آزمایشگاه موتور و پیشرانش دانشگاه تربیت مدرس و شرکت موتورسازان تراکتورسازی تبریز بواسطه حمایت از این کار تحقیقاتی تشکر و قدردانی می‌نمایند.

## سومین کنفرانس سوخت و احتراق ایران

تهران - دانشگاه صنعتی امیرکبیر - اسفند ماه ۱۳۸۸



دانشگاه صنعتی امیرکبیر  
دانشکده مهندسی هواپیما

### مراجع

- 1- Heywood, J. B., *Internal Combustion Engine Fundamentals*, McGraw-Hill, Inc., New York, 1998.
- 2- Pierpont, D. A. and Reitz, R. D., "Effect of injection Pressure and Nozzle Geometry on Emissions and Performance in a D.I Diesel ", SAE Paper 950604,1995.
- 3- Nehmer, D. A. and Reitz, R. D., "Measurement of the Effect of injection rate and Split Injections on Diesel Engine Soot and NOx Emissions", SAE Paper 940668, 1994.
- 4- Lee, T., "An Experimental Study of Emission Reduction Mechanisms in a High Speed Direct Injection Diesel Engine With Multiple Injection and EGR ", PhDs Thesis, University of Wisconsin-Madison, 2002.
- 5- Ricaud, J.C., Lavoisier, F., "Optimizing the Multiple Injection Settings on an HSDI Diesel Engine", THESEL 2002 Conference, 2002.
- 6- Liu, Y., Tao, F., Foster, D. and Reitz, R.D., "Application of a Multiple- Step Phenomenological Soot Model to HSDI Diesel Multiple Injection Modeling", SAE Technical Paper 2005-01-0924, 2005.
- 7- Ghafarpour, M. R., Noorpoor, A. R., "A Numerical study of Pilot or Split Rate Injection to Reduce Diesel engine Noise", Proc. IMechE, Vol. (221), pp 457-464, 2007.
- 8- Liu, Y., "Diesel Engine Modeling and Optimization for Emission Reduction", PhDs Thesis, University of Wisconsin- Madison, 2005.
- 9- Mendez, S. and Thirouard, B, "Using Multiple Injection Strategies in Diesel Combustion: Potential to Improve Emissions, Noise and Fuel Economy Trade-Off in Low CR Engines", SAE Technical Paper 2008-8-01- 1329, 2008.
- 10- Amsden A.A, "KIVA-II: A Computer Program for Chemically Reactive Flows with sprays", Los Alamos National Laboratory report, LA-11560-MS, 1989.
- 11- فتح الله امی، کامران بورقاسی، وحید اصفهانیان، علی میرمحمدی، ۱۳۸۸، "بررسی تاثیر پاشش چند مرحله‌ای سوخت و مشخصه‌های افشاره بر کاهش آلاینده‌های موتور دیزل پاشش مستقیم"، دوازدهمین کنفرانس دینامیک شاره‌ها، دانشگاه صنعتی نوشیروانی بابل.
- 12- Bowman, C. T., "Kinetics of Pollutant Formation and Destruction in Combustion", Prog. Energy Combust Sci, Vol. (33), 1975.
- 13- Han, Z., Uludogan, A., Hampson, G. J., Reitz, R. D., "Mechanism of Soot and NOx Emission Reduction Using Multiple-injection in a Diesel Engine", SAE Paper 960633, 1996.
- 14- Nagle, J., Strickland- Constable, R. F., "Oxidation of Carbon between 1000-2000C", Proceedings of the Fifth Conference on Carbon, New York, Pergamon, 1962.